

# ANALYSE TOPOLOGIQUE DES STRUCTURES MUSICALES VIA L'HOMOLOGIE PERSISTANTE

Victoria Callet

Doctorante en Mathématiques à l'IRMA, Strasbourg  
sous la supervision de Pierre Guillot et Moreno Andreatta

victoria.callet@math.unistra.fr

Séminaire - IRIMAS, UHA, Mulhouse

12/05/2022



## L'homologie persistante, c'est quoi ?

- Outil de la **théorie simpliciale**.
- **But** : Mesurer l'évolution de l'homologie simpliciale à travers le "temps".
- Entre la topologie algébrique et les mathématiques appliquées.
- Analyse Topologique des Données → **reconnaissance de forme**.
- Différents domaines d'applications : médecine, biologie, physique, **musique**,...

# Introduction - Plan de l'exposé

## 1 Théorie simpliciale

- Complexes simpliciaux
- Complexes de chaînes
- Homologie simpliciale

## 2 Homologie persistante

- Filtration et persistance
- Visualisation par les codes barres
- Analyse topologique des données

## 3 Homologie persistante et analyse musicale

- Application aux mesures d'un morceau
- Des cycles en degré 1
- Degré 0 et structure des morceaux

# I/ THÉORIE SIMPLICIALE

# 1) Complexes simpliciaux

## Définition :

Un complexe simplicial est un couple  $(V, K)$  où  $V$  est un ensemble de **sommets** et  $K \subset \mathcal{P}(V)$  est un ensemble de **simplexes** tels que

- $V = \bigcup_{\sigma \in K} \sigma$
- if  $\sigma \in K$  et  $\tau \subset \sigma$ , alors  $\tau \in K$ .

# 1) Complexes simpliciaux

## Définition :

Un complexe simplicial est un couple  $(V, K)$  où  $V$  est un ensemble de **sommets** et  $K \subset \mathcal{P}(V)$  est un ensemble de **simplexes** tels que

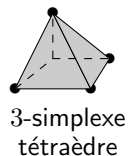
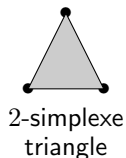
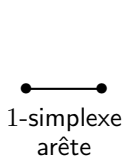
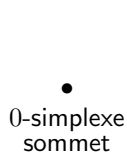
- $V = \bigcup_{\sigma \in K} \sigma$
- if  $\sigma \in K$  et  $\tau \subset \sigma$ , alors  $\tau \in K$ .

## Vocabulaire :

- Si  $\sigma \in K$  est un simplexe, alors  $\dim \sigma = |\sigma| - 1$
- On dit que  $\sigma$  est un  $n$ -**simplex** si  $|\sigma| = n + 1$
- La dimension du complexe est  $\dim(V, K) = \sup_{\sigma \in K} \dim \sigma$
- En général, on désigne par  $K$  le complexe simplicial  $(V, K)$ .

# 1) Complexes simpliciaux

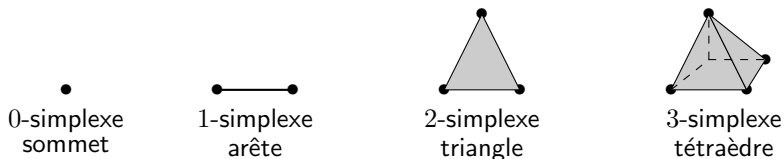
On peut toujours penser à un complexe via sa **réalisation géométrique** :



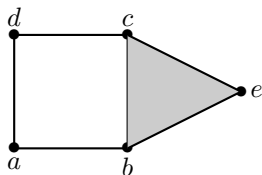
Réalisation géométrique des  $n$ -simplexes.

# 1) Complexes simpliciaux

On peut toujours penser à un complexe via sa **réalisation géométrique** :



Réalisation géométrique des  $n$ -simplexes.



Un complexe simplicial  $(V, K)$  de dimension 2 : l'ensemble des sommets est  $V = \{a, b, c, d, e\}$  et le "plus gros simplexe" est le triangle  $\{c, b, e\}$ .



## 2) Complexes de chaînes

On considère le **corps**  $\mathbb{F}_2$  à deux éléments.

Soit  $K$  un complexe simplicial.

### Définition :

- Le  $n^{\text{ième}}$  **groupe de chaîne**  $C_n(K, \mathbb{F}_2)$  de  $K$  est le  $\mathbb{F}_2$ -espace vectoriel sur l'ensemble des  $n$ -simplexes de  $K$ .
- Une  $n$ -**chaîne**  $c \in C_n(K)$  est une *somme formelle*  $c = \sum_{\sigma} \lambda_{\sigma} \sigma$  où  $\lambda_{\sigma} \in \mathbb{F}_2$ .

**Notations :** Quand le contexte est clair, on écrit  $C_n(K)$  ou  $C_n$  pour  $C_n(K, \mathbb{F}_2)$ .

## 2) Complexes de chaînes

On considère le corps  $\mathbb{F}_2$  à deux éléments.

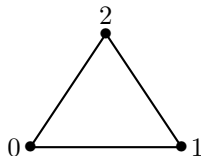
Soit  $K$  un complexe simplicial.

### Définition :

- Le  $n^{\text{ième}}$  **groupe de chaîne**  $C_n(K, \mathbb{F}_2)$  de  $K$  est le  $\mathbb{F}_2$ -espace vectoriel sur l'ensemble des  $n$ -simplexes de  $K$ .
- Une  $n$ -**chaîne**  $c \in C_n(K)$  est une *somme formelle*  $c = \sum_{\sigma} \lambda_{\sigma} \sigma$  où  $\lambda_{\sigma} \in \mathbb{F}_2$ .

**Notations :** Quand le contexte est clair, on écrit  $C_n(K)$  ou  $C_n$  pour  $C_n(K, \mathbb{F}_2)$ .

### L'exemple de la sphère $\mathbb{S}^1$ :



$$C_0(\mathbb{S}^1) = \mathbb{F}_2 \cdot \{0\} \oplus \mathbb{F}_2 \cdot \{1\} \oplus \mathbb{F}_2 \cdot \{2\}$$

$$C_1(\mathbb{S}^1) = \mathbb{F}_2 \cdot \{01\} \oplus \mathbb{F}_2 \cdot \{12\} \oplus \mathbb{F}_2 \cdot \{02\}$$

$$C_n(\mathbb{S}^1) = 0 \text{ pour } n \geq 2 \text{ et } n < 0$$

Le complexe simplicial  $\mathbb{S}^1$

## 2) Complexes de chaînes

### Définition :

L'**opérateur bord**  $\partial_n : C_n(K) \rightarrow C_{n-1}(K)$  est un morphisme défini linéairement sur une chaîne  $c$  via son action sur les simplexes  $\sigma = \{v_0, v_1, \dots, v_n\}$  de  $c$  :

$$\partial_n \sigma = \sum_i \{v_0, v_1, \dots, \hat{v}_i, \dots, v_n\}$$

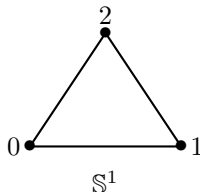
## 2) Complexes de chaînes

### Définition :

L'opérateur bord  $\partial_n : C_n(K) \rightarrow C_{n-1}(K)$  est un morphisme défini linéairement sur une chaîne  $c$  via son action sur les simplexes  $\sigma = \{v_0, v_1, \dots, v_n\}$  de  $c$  :

$$\partial_n \sigma = \sum_i \{v_0, v_1, \dots, \hat{v}_i, \dots, v_n\}$$

### L'exemple de la sphère $\mathbb{S}^1$ :



$$\partial_1 \{01\} = \{1\} + \{0\}$$

$$\partial_1 \{12\} = \{2\} + \{1\}$$

$$\partial_1 \{02\} = \{2\} + \{0\}$$

$$\partial_1 (\{01\} + \{12\} + \{20\}) = 2(\{0\} + \{1\} + \{2\}) = 0$$

## 2) Complexes de chaînes

### Lemme : (Fondamental)

Pour tout  $n \in \mathbb{N}$ , la composition suivante est nulle :

$$\partial_n \circ \partial_{n+1} = 0.$$

On a ainsi une suite de groupes de chaînes et d'opérateurs bords

$$\dots \xrightarrow{\partial_{n+2}} C_{n+1} \xrightarrow{\partial_{n+1}} C_n \xrightarrow{\partial_n} C_{n-1} \xrightarrow{\partial_{n-1}} \dots$$

telle que  $\text{im } \partial_{n+1} \subset \text{ker } \partial_n$  pour tout  $n$ .

## 2) Complexes de chaînes

### Lemme : (Fondamental)

Pour tout  $n \in \mathbb{N}$ , la composition suivante est nulle :

$$\partial_n \circ \partial_{n+1} = 0.$$

On a ainsi une suite de groupes de chaînes et d'opérateurs bords

$$\dots \xrightarrow{\partial_{n+2}} C_{n+1} \xrightarrow{\partial_{n+1}} C_n \xrightarrow{\partial_n} C_{n-1} \xrightarrow{\partial_{n-1}} \dots$$

telle que  $\text{im } \partial_{n+1} \subset \text{ker } \partial_n$  pour tout  $n$ .

### Définition :

Un **complexe de chaîne** est un couple  $((C_*)_*, \partial)$  où  $(C_*)_*$  est un ensemble de groupes de chaîne et  $\partial$  est l'opérateur bord associé.

### 3) Homologie simpliciale

Soit  $K$  un complexe simplicial.

#### Notations:

- $Z_n(K) = \ker \partial_n$  est l'ensemble des  $n$ -cycles
- $B_n(K) = \text{im } \partial_{n+1}$  est l'ensemble des  $n$ -bords

Puisque  $\partial_n \circ \partial_{n+1} = 0$ , on a  $B_n(K) \subset Z_n(K)$  pour tout  $n$ .

### 3) Homologie simpliciale

Soit  $K$  un complexe simplicial.

#### Notations:

- $Z_n(K) = \ker \partial_n$  est l'ensemble des  $n$ -cycles
- $B_n(K) = \text{im } \partial_{n+1}$  est l'ensemble des  $n$ -bords

Puisque  $\partial_n \circ \partial_{n+1} = 0$ , on a  $B_n(K) \subset Z_n(K)$  pour tout  $n$ .

#### Définition :

- Le  $n^{\text{ième}}$  **groupe d'homologie** de  $K$  est le quotient

$$H_n(K) = Z_n(K) / B_n(K).$$

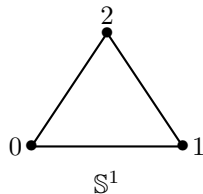
- Le  $n^{\text{ième}}$  **nombre de Betti** est le nombre  $\beta_n(K) = \dim H_n(K)$ .



### 3) Homologie simpliciale

L'exemple de  $\mathbb{S}^1$  :

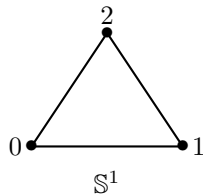
$$0 \xrightarrow{\partial_2} C_1(\mathbb{S}^1) \xrightarrow{\partial_1} C_0(\mathbb{S}^1) \xrightarrow{\partial_0} 0$$



### 3) Homologie simpliciale

L'exemple de  $\mathbb{S}^1$  :

$$0 \xrightarrow{\partial_2} C_1(\mathbb{S}^1) \xrightarrow{\partial_1} C_0(\mathbb{S}^1) \xrightarrow{\partial_0} 0$$

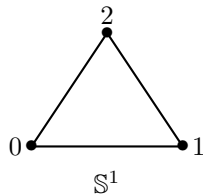


- $B_1(\mathbb{S}^1) = \text{im } \partial_2 = 0$  donc  $H_1(\mathbb{S}^1) = Z_1(\mathbb{S}^1) / B_1(\mathbb{S}^1) = \ker \partial_1$ .  
 $\ker \partial_1 = \mathbb{F}_2 \cdot (\{01\} + \{02\} + \{12\})$  d'où  $H_1(\mathbb{S}^1) \simeq \mathbb{F}_2$  et  $\beta_1(\mathbb{S}^1) = 1$ .

### 3) Homologie simpliciale

L'exemple de  $\mathbb{S}^1$  :

$$0 \xrightarrow{\partial_2} C_1(\mathbb{S}^1) \xrightarrow{\partial_1} C_0(\mathbb{S}^1) \xrightarrow{\partial_0} 0$$

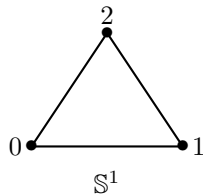


- $B_1(\mathbb{S}^1) = \text{im } \partial_2 = 0$  donc  $H_1(\mathbb{S}^1) = Z_1(\mathbb{S}^1) / B_1(\mathbb{S}^1) = \ker \partial_1$ .  
 $\ker \partial_1 = \mathbb{F}_2 \cdot (\{01\} + \{02\} + \{12\})$  d'où  $H_1(\mathbb{S}^1) \simeq \mathbb{F}_2$  et  $\beta_1(\mathbb{S}^1) = 1$ .
- $H_0(\mathbb{S}^1) = Z_0(\mathbb{S}^1) / B_0(\mathbb{S}^1)$ , mais  $\dim B_0(\mathbb{S}^1) = \dim \text{im } \partial_1 = 2$   
 $Z_0(\mathbb{S}^1) = \ker \partial_0 = C_0(\mathbb{S}^1)$  et donc  $H_0(\mathbb{S}^1) \simeq \mathbb{F}_2$  and  $\beta_0(\mathbb{S}^1) = 1$ .

### 3) Homologie simpliciale

#### L'exemple de $\mathbb{S}^1$ :

$$0 \xrightarrow{\partial_2} C_1(\mathbb{S}^1) \xrightarrow{\partial_1} C_0(\mathbb{S}^1) \xrightarrow{\partial_0} 0$$

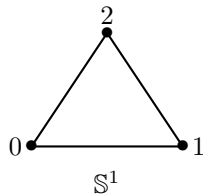


- $B_1(\mathbb{S}^1) = \text{im } \partial_2 = 0$  donc  $H_1(\mathbb{S}^1) = Z_1(\mathbb{S}^1) / B_1(\mathbb{S}^1) = \ker \partial_1$ .  
 $\ker \partial_1 = \mathbb{F}_2 \cdot (\{01\} + \{02\} + \{12\})$  d'où  $H_1(\mathbb{S}^1) \simeq \mathbb{F}_2$  et  $\beta_1(\mathbb{S}^1) = 1$ .
- $H_0(\mathbb{S}^1) = Z_0(\mathbb{S}^1) / B_0(\mathbb{S}^1)$ , mais  $\dim B_0(\mathbb{S}^1) = \dim \text{im } \partial_1 = 2$   
 $Z_0(\mathbb{S}^1) = \ker \partial_0 = C_0(\mathbb{S}^1)$  et donc  $H_0(\mathbb{S}^1) \simeq \mathbb{F}_2$  and  $\beta_0(\mathbb{S}^1) = 1$ .
- $H_n(\mathbb{S}^1) = 0$  dans tous les autres cas.

### 3) Homologie simpliciale

#### L'exemple de $\mathbb{S}^1$ :

$$0 \xrightarrow{\partial_2} C_1(\mathbb{S}^1) \xrightarrow{\partial_1} C_0(\mathbb{S}^1) \xrightarrow{\partial_0} 0$$



- $B_1(\mathbb{S}^1) = \text{im } \partial_2 = 0$  donc  $H_1(\mathbb{S}^1) = Z_1(\mathbb{S}^1) / B_1(\mathbb{S}^1) = \ker \partial_1$ .  
 $\ker \partial_1 = \mathbb{F}_2 \cdot (\{01\} + \{02\} + \{12\})$  d'où  $H_1(\mathbb{S}^1) \simeq \mathbb{F}_2$  et  $\beta_1(\mathbb{S}^1) = 1$ .
- $H_0(\mathbb{S}^1) = Z_0(\mathbb{S}^1) / B_0(\mathbb{S}^1)$ , mais  $\dim B_0(\mathbb{S}^1) = \dim \text{im } \partial_1 = 2$   
 $Z_0(\mathbb{S}^1) = \ker \partial_0 = C_0(\mathbb{S}^1)$  et donc  $H_0(\mathbb{S}^1) \simeq \mathbb{F}_2$  and  $\beta_0(\mathbb{S}^1) = 1$ .
- $H_n(\mathbb{S}^1) = 0$  dans tous les autres cas.

**Généralisation :** pour tous  $n$  et  $k$ , on a  $H_n(\mathbb{S}^k) = \begin{cases} \mathbb{F}_2 & \text{si } n = 0 \text{ ou } k \\ 0 & \text{sinon} \end{cases}$

# II/ HOMOLOGIE PERSISTANTE

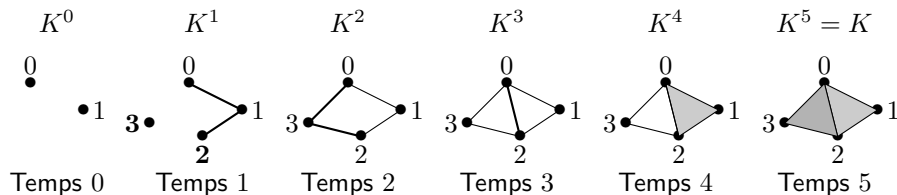
# 1) Filtration et persistance

Soit  $K$  un complexe simplicial.

## Définition :

Une **filtration** de  $K$  est une suite croissante de sous-complexes de  $K$  :

$$\emptyset = K^{-1} \subseteq K^0 \subseteq K^1 \subseteq \dots \subseteq K^N = K$$



On dit que  $K$  est un **complexe filtré**.

# 1) Filtration et persistance

$$\emptyset = K^{-1} \subseteq K^0 \subseteq K^1 \subseteq \dots \subseteq K^N = K$$

Pour toute paire  $(i, p)$ , on a  $\eta^{i,p} : K^i \hookrightarrow K^{i+p}$ .



# 1) Filtration et persistance

$$\emptyset = K^{-1} \subseteq K^0 \subseteq K^1 \subseteq \dots \subseteq K^N = K$$

Pour toute paire  $(i, p)$ , on a  $\eta^{i,p} : K^i \hookrightarrow K^{i+p}$ .

Pour chaque degré  $n$ , on a

$$0 \longrightarrow H_n(K^0) \xrightarrow{\eta_n^{0,1}} H_n(K^1) \xrightarrow{\eta_n^{1,1}} \dots \xrightarrow{\eta_n^{N-2,1}} H_n(K^{N-1}) \xrightarrow{\eta_n^{N-1,1}} H_n(K)$$

# 1) Filtration et persistance

$$\emptyset = K^{-1} \subseteq K^0 \subseteq K^1 \subseteq \dots \subseteq K^N = K$$

Pour toute paire  $(i, p)$ , on a  $\eta^{i,p} : K^i \hookrightarrow K^{i+p}$ .

Pour chaque degré  $n$ , on a

$$0 \longrightarrow H_n(K^0) \xrightarrow{\eta_n^{0,1}} H_n(K^1) \xrightarrow{\eta_n^{1,1}} \dots \xrightarrow{\eta_n^{N-2,1}} H_n(K^{N-1}) \xrightarrow{\eta_n^{N-1,1}} H_n(K)$$

## Définition :

Soit  $K$  un complexe simplicial **filtré**.

(i) Le  $p^{\text{ième}}$  **groupe d'homologie persistante** de degré  $n$  associé à  $K^i$  est

$$H_n^{i,p}(K, \mathbb{F}_2) = H_n^{i,p}(K) := \text{im } \eta_n^{i,p} : H_n(K^i) \rightarrow H_n(K^{i+p}).$$

(ii) Le  $p^{\text{ième}}$  **nombre de Betti persistant** de degré  $n$  associé à  $K^i$

$$\beta_n^{i,p}(K, \mathbb{F}_2) = \beta_n^{i,p}(K) := \dim H_n^{i,p}(K).$$

# 1) Filtration et persistance

## Théorème : (Structure de l'homologie persistante)

Soit  $K$  un complexe filtré.

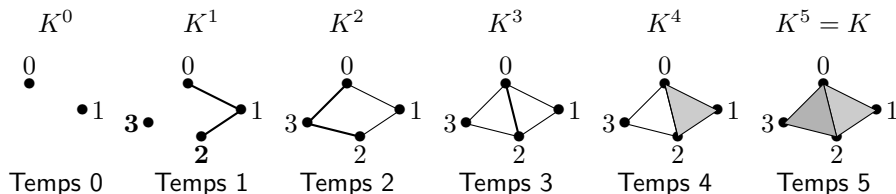
$$H_*(K) \cong \left( \bigoplus_j t^{a_j} \cdot \mathbb{F}_2[t] \right) \oplus \left( \bigoplus_l t^{b_l} \cdot \mathbb{F}_2[t] / (t^{c_l}) \right)$$

# 1) Filtration et persistance

## Théorème : (Structure de l'homologie persistante)

Soit  $K$  un complexe filtré.

$$H_*(K) \cong \left( \bigoplus_j t^{a_j} \cdot \mathbb{F}_2[t] \right) \oplus \left( \bigoplus_l t^{b_l} \cdot \mathbb{F}_2[t] / (t^{c_l}) \right)$$



$$\text{En degré 0 : } H_0(K) = \mathbb{F}_2[t] \oplus (\mathbb{F}_2[t]/t) \oplus (t \cdot \mathbb{F}_2[t]/t)$$

## 2) Visualisation par les codes barres

Soit  $K$  un complexe filtré.

$$H_*(K) \cong \left( \bigoplus_j t^{a_j} \cdot \mathbb{F}_2[t] \right) \oplus \left( \bigoplus_l t^{b_l} \cdot \mathbb{F}_2[t] / (t^{c_l}) \right)$$

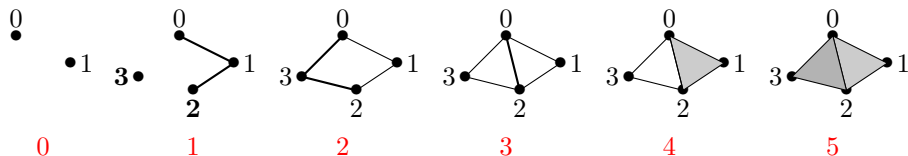
### Définition :

Le **code barre**  $H_*(K)$  est un graphe dont l'abscisse décrit le **temps de filtration**

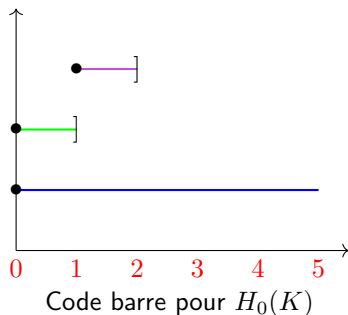
- une classe qui **naît** au temps  $a_j$  et ne **meurt jamais** est un intervalle  $[a_j, \infty[$
- une classe qui **naît** au temps  $b_l$  et **meurt** au temps  $b_l + c_l$  est un intervalle  $[b_l, b_l + c_l]$

## 2) Visualisation par les codes barres

En degré 0 :

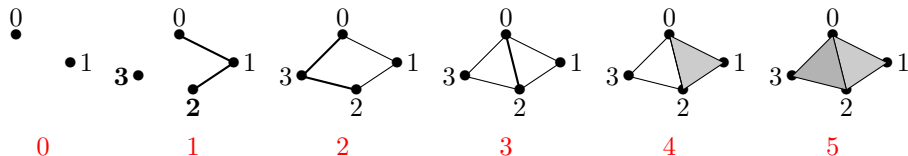


$$H_0(K) = \mathbb{F}_2[t] \oplus (\mathbb{F}_2[t]/t) \oplus (t \cdot \mathbb{F}_2[t]/t)$$

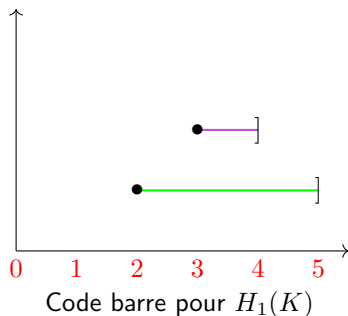


## 2) Visualisation par les codes barres

En degré 1 :

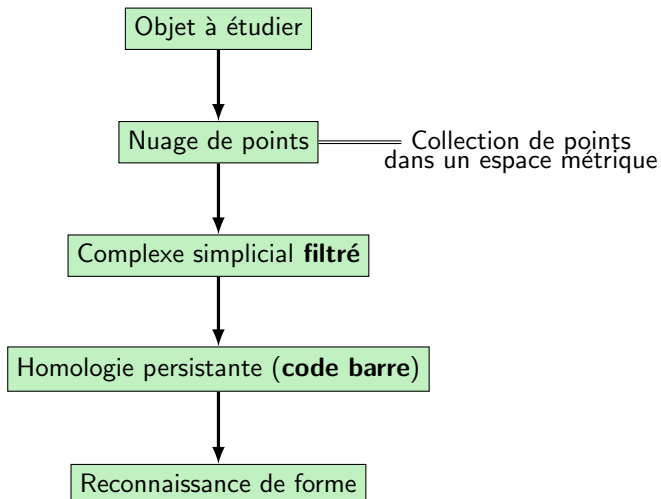


$$H_1(K) = (t^2 \cdot k[t]/t^3) \oplus (t^3 \cdot k[t]/t)$$



### 3) Analyse topologique des données

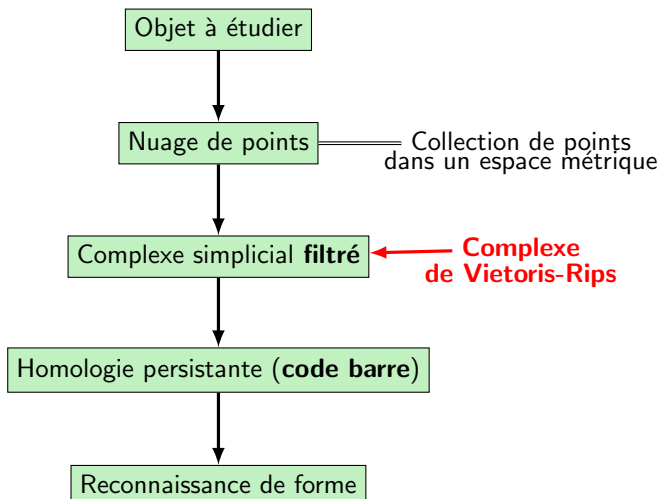
#### Analyse Topologique de Données (TDA) :





### 3) Analyse topologique des données

## Analyse Topologique de Données (TDA) :



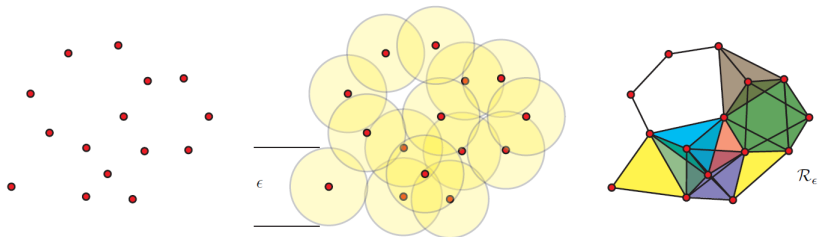
### 3) Analyse topologique des données

Soit  $X = \{x_1, \dots, x_n\}$  un **nuage de points** et  $\epsilon \geq 0$  un **paramètre**.

#### Définition :

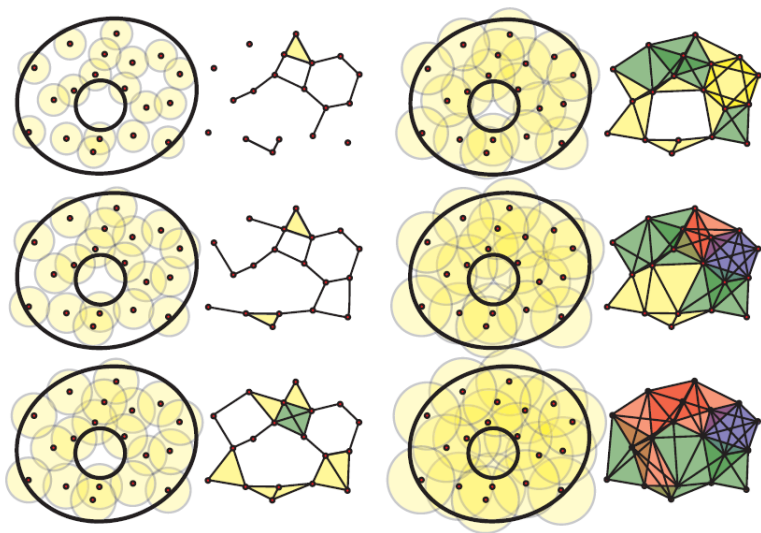
Le **complexe de Vietoris-Rips**  $\mathcal{R}_\epsilon(X)$  est le complexe simplicial où :

- les sommets sont les points de  $X = \{x_1, \dots, x_n\}$
- $\sigma = \{x_1, \dots, x_k\}$  est un  $k$ -simplex ssi  $d(x_i, x_j) \leq \epsilon$  pour tout  $(x_i, x_j) \in \sigma^2$ .



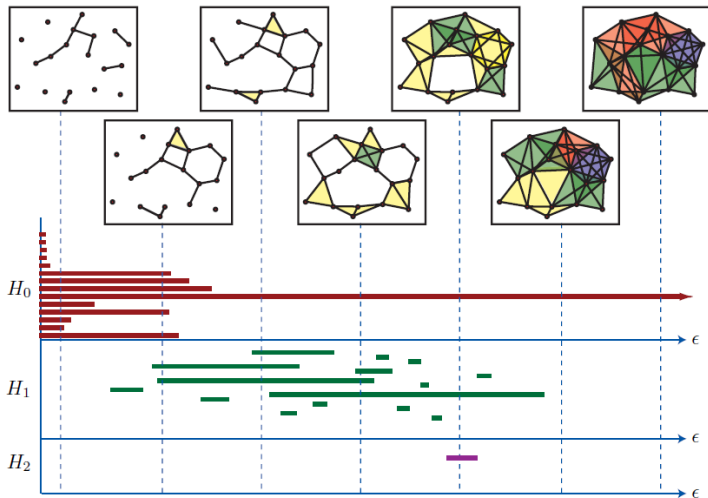
### 3) Analyse topologique des données

→ On obtient une **filtration de complexes** en faisant **varier le paramètre  $\epsilon$** .



### 3) Analyse topologique des données

→ On peut calculer l'homologie persistante et donc les **codes barres associés**.

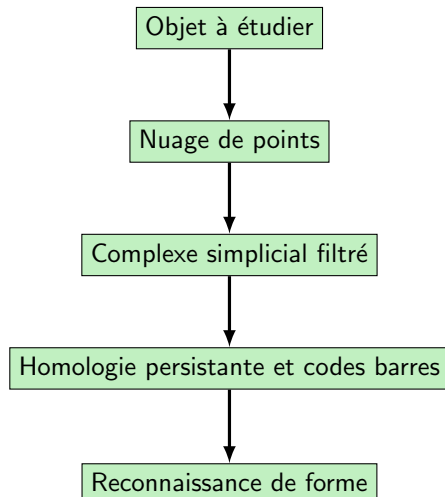


# III/ HOMOLOGIE PERSISTANTE ET ANALYSE MUSICALE

## Problématiques :

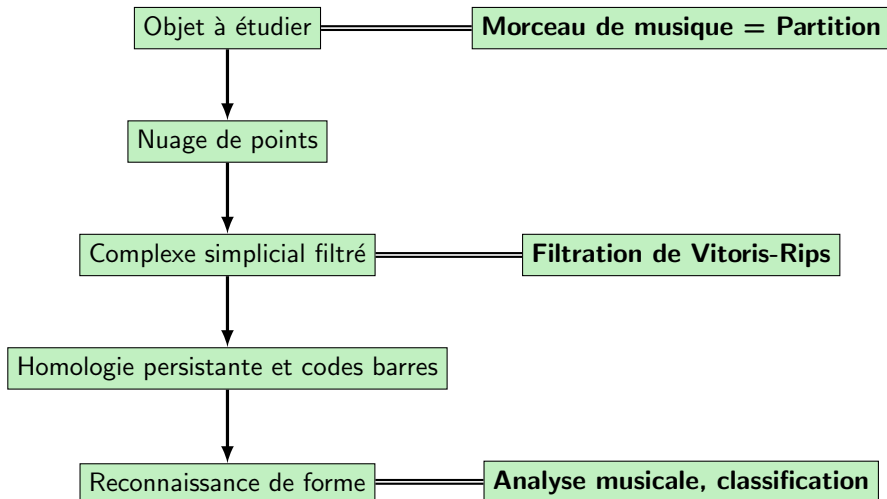
- Comment associer un complexe filtré à une pièce de musique ?
- Dans quelles mesures l'homologie persistante et l'analyse topologique de données peuvent être utilisées dans le contexte de l'analyse musicale ?

## Analyse Topologique de Données :



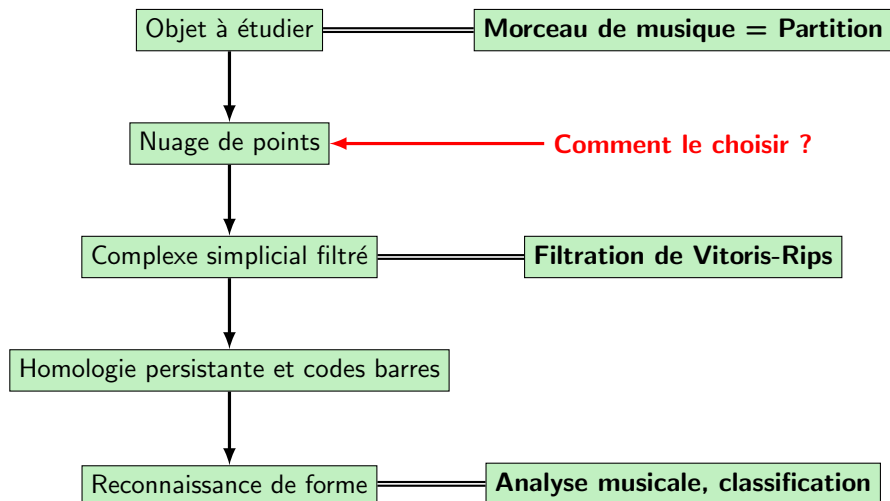
# Homologie persistante et analyse musicale

## Analyse Topologique de Données :





## Analyse Topologique de Données :



# 1) Application aux mesures d'un morceau

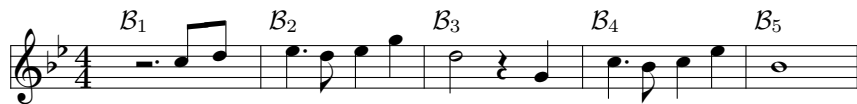
## Définition :

- Une partition  $\mathcal{S} = \{\mathcal{B}_1, \dots, \mathcal{B}_N\}$  est un ensemble fini de  $N$  sous-ensembles  $\mathcal{B}_i$  de  $\mathbb{R}^3$  appelés **mesures**.
- Un élément d'une mesure  $\mathcal{B}_i$  est une **note**  $n_i = (\text{position}, \text{durée}, \text{hauteur})$ .

# 1) Application aux mesures d'un morceau

## Définition :

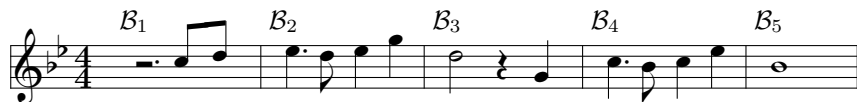
- Une partition  $\mathcal{S} = \{\mathcal{B}_1, \dots, \mathcal{B}_N\}$  est un ensemble fini de  $N$  sous-ensembles  $\mathcal{B}_i$  de  $\mathbb{R}^3$  appelés **mesures**.
- Un élément d'une mesure  $\mathcal{B}_i$  est une **note**  $n_i = (\text{position}, \text{durée}, \text{hauteur})$ .



# 1) Application aux mesures d'un morceau

## Définition :

- Une partition  $\mathcal{S} = \{\mathcal{B}_1, \dots, \mathcal{B}_N\}$  est un ensemble fini de  $N$  sous-ensembles  $\mathcal{B}_i$  de  $\mathbb{R}^3$  appelés **mesures**.
- Un élément d'une mesure  $\mathcal{B}_i$  est une **note**  $n_i = (\text{position}, \text{durée}, \text{hauteur})$ .



$$\mathcal{B}_1 = \{(3, 1/2, C_5), (7/2, 1/2, D_5)\}$$

$$\mathcal{B}_2 = \{(0, 3/2, E_5^b), (3/2, 1/2, D_5), (2, 1, E_5^b), (3, 1, G_5)\}$$

$$\mathcal{B}_3 = \{(0, 2, D_5), (3, 1, G_4)\}$$

$$\mathcal{B}_4 = \{(0, 3/2, C_5), (3/2, 1/2, B_4^b), (2, 1, C_5), (3, 1, E_5^b)\}$$

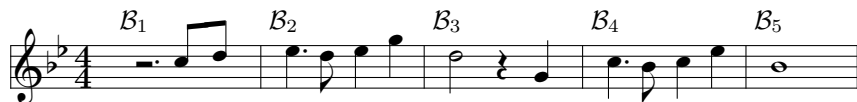
$$\mathcal{B}_5 = \{(0, 4, B_4^b)\}$$

P

# 1) Application aux mesures d'un morceau

## Définition :

- Une partition  $\mathcal{S} = \{\mathcal{B}_1, \dots, \mathcal{B}_N\}$  est un ensemble fini de  $N$  sous-ensembles  $\mathcal{B}_i$  de  $\mathbb{R}^3$  appelés **mesures**.
- Un élément d'une mesure  $\mathcal{B}_i$  est une **note**  $n_i = (\text{position}, \text{durée}, \text{hauteur})$ .



$$\mathcal{B}_1 = \{(3, 1/2, C_5), (7/2, 1/2, D_5)\}$$

$$\mathcal{B}_2 = \{(0, 3/2, E_5b), (3/2, 1/2, D_5), (2, 1, E_5b), (3, 1, G_5)\}$$

$$\mathcal{B}_3 = \{(0, 2, D_5), (3, 1, G_4)\}$$

$$\mathcal{B}_4 = \{(0, 3/2, C_5), (3/2, 1/2, B_4b), (2, 1, C_5), (3, 1, E_5b)\}$$

$$\mathcal{B}_5 = \{(0, 4, B_4b)\}$$

P

Partition

Sous-ensembles de  $\mathbb{R}^3$

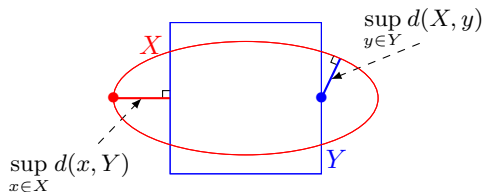
# 1) Application aux mesures d'un morceau

## Définition : (Distance de Hausdorff)

Soient  $X$  et  $Y$  deux espaces métriques compacts munis d'une même distance  $d$ . La **distance de Hausdorff** entre  $X$  et  $Y$  est donnée par :

$$d_H(X, Y) = \max \left\{ \sup_{x \in X} d(x, Y) ; \sup_{y \in Y} d(X, y) \right\}$$

avec  $d(x, Y) = \inf_{y \in Y} d(x, y)$  et  $d(X, y) = \inf_{x \in X} d(x, y)$



# 1) Application aux mesures d'un morceau

On peut appliquer la **distance de Hausdorff** à deux mesures  $\mathcal{B}_i, \mathcal{B}_j \subset \mathbb{R}^3$ , avec  $d_1$  la distance donnée par  $d_1(x, y) = \sum_i |x_i - y_j|$  :

$$d_H(\mathcal{B}_i, \mathcal{B}_j) = \max \left\{ \max_{n_i \in \mathcal{B}_i} \min_{n_j \in \mathcal{B}_j} d_1(n_i, n_j) ; \max_{n_j \in \mathcal{B}_j} \min_{n_i \in \mathcal{B}_i} d_1(n_i, n_j) \right\}$$

# 1) Application aux mesures d'un morceau

On peut appliquée la **distance de Hausdorff** à deux mesures  $\mathcal{B}_i, \mathcal{B}_j \subset \mathbb{R}^3$ , avec  $d_1$  la distance donnée par  $d_1(x, y) = \sum_i |x_i - y_j|$  :

$$d_H(\mathcal{B}_i, \mathcal{B}_j) = \max \left\{ \max_{n_i \in \mathcal{B}_i} \min_{n_j \in \mathcal{B}_j} d_1(n_i, n_j) ; \max_{n_j \in \mathcal{B}_j} \min_{n_i \in \mathcal{B}_i} d_1(n_i, n_j) \right\}$$



	$\mathcal{B}_1$	$\mathcal{B}_2$	$\mathcal{B}_3$	$\mathcal{B}_4$	$\mathcal{B}_5$
$\mathcal{B}_1$	0	1.07	1.16	0.987	1.82
$\mathcal{B}_2$		0	0.688	0.111	1.71
$\mathcal{B}_3$			0	0.577	1.55
$\mathcal{B}_4$				0	1.6
$\mathcal{B}_5$					0



# 1) Application aux mesures d'un morceau

On peut appliquer la **distance de Hausdorff** à deux mesures  $\mathcal{B}_i, \mathcal{B}_j \subset \mathbb{R}^3$ , avec  $d_1$  la distance donnée par  $d_1(x, y) = \sum_i |x_i - y_j|$  :

$$d_H(\mathcal{B}_i, \mathcal{B}_j) = \max \left\{ \max_{n_i \in \mathcal{B}_i} \min_{n_j \in \mathcal{B}_j} d_1(n_i, n_j) ; \max_{n_j \in \mathcal{B}_j} \min_{n_i \in \mathcal{B}_i} d_1(n_i, n_j) \right\}$$



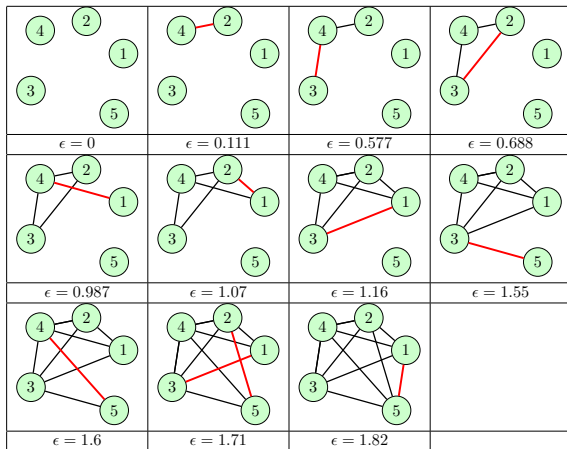
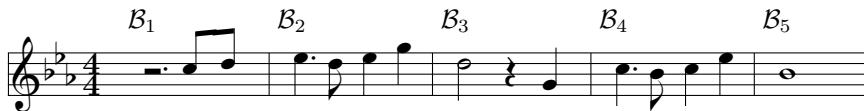
	$\mathcal{B}_1$	$\mathcal{B}_2$	$\mathcal{B}_3$	$\mathcal{B}_4$	$\mathcal{B}_5$
$\mathcal{B}_1$	0	1.07	1.16	0.987	1.82
$\mathcal{B}_2$		0	0.688	0.111	1.71
$\mathcal{B}_3$			0	0.577	1.55
$\mathcal{B}_4$				0	1.6
$\mathcal{B}_5$					0

Partition

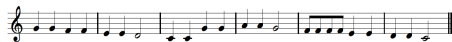
Sous-ensembles de  $\mathbb{R}^3$   
Distance de Hausdorff

Nuage de points dans  $\mathbb{R}^3$

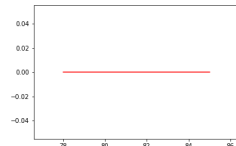
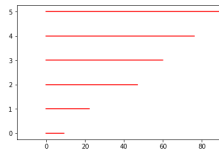
# 1) Application aux mesures d'un morceau



# 1) Application aux mesures d'un morceau

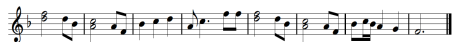
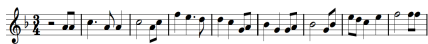


Une partition  $\mathcal{S}$  avec 6 mesures distinctes.

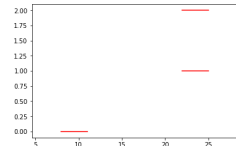
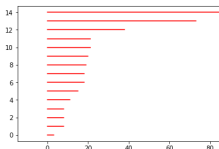


Code barre pour  $H_0$   
6 composantes à 0%

Code barre pour  $H_1$   
1 cycle à 78%



Une partition  $\mathcal{S}$  avec 15 mesures distinctes.



Code barre pour  $H_0$   
15 composantes à 0%

Code barre pour  $H_1$   
3 cycles à 8% et 22%

**L'information topologique de chaque partition  
est contenue dans la famille des codes barres associée.**

## 2) Des cycles en degré 1

**Idée** : les éléments du  $H_1$  représentent des **boucles musicales**.

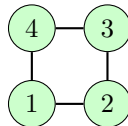
## 2) Des cycles en degré 1

**Idée :** les éléments du  $H_1$  représentent des **boucles musicales**.



$$d_H(\mathcal{B}_1, \mathcal{B}_4) = d_H(\mathcal{B}_2, \mathcal{B}_3) \approx 0.083$$

$$d_H(\mathcal{B}_1, \mathcal{B}_2) = d_H(\mathcal{B}_3, \mathcal{B}_4) \approx 0.111$$



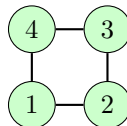
## 2) Des cycles en degré 1

**Idée :** les éléments du  $H_1$  représentent des **boucles musicales**.



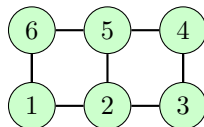
$$d_H(B_1, B_4) = d_H(B_2, B_3) \approx 0.083$$

$$d_H(B_1, B_2) = d_H(B_3, B_4) \approx 0.111$$



$$d_H(B_1, B_6) = d_H(B_2, B_5) = d_H(B_3, B_4) \approx 0.083$$

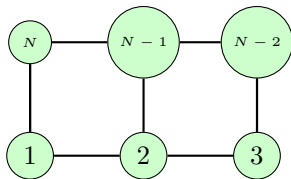
$$d_H(B_1, B_2) = d_H(B_3, B_4) = d_H(B_5, B_6) \approx 0.111$$



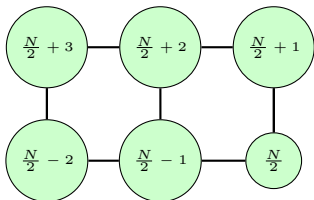
## 2) Des cycles en degré 1



...

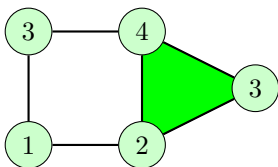


...



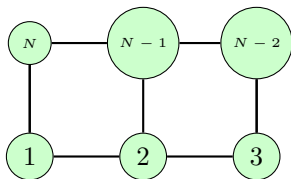
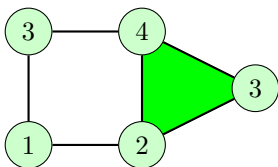
...

## 2) Des cycles en degré 1

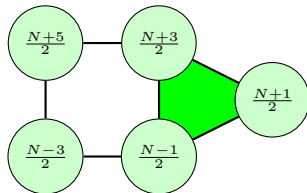




## 2) Des cycles en degré 1



...



...

### 3) Degré 0 et structure des morceaux

**Idée** : le  $H_0$  donne des informations sur la **structure globale** d'une pièce grâce aux différents **composantes connexes du complexe**.

### 3) Degré 0 et structure des morceaux

**Idée** : le  $H_0$  donne des informations sur la **structure globale** d'une pièce grâce aux différentes **composantes connexes du complexe**.

Un morceau avec 12 mesures distinctes :



### 3) Degré 0 et structure des morceaux

A musical score consisting of three staves (treble clef, bass clef, and a grand staff) with four measures. The first measure is highlighted with a red box, the second with a yellow box, the third with a red box, and the fourth with a blue box. The notes in the first three measures are quarter notes, while the fourth measure contains a whole note.

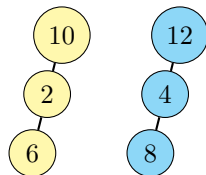
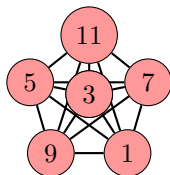
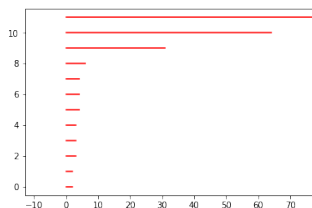
- Noires 
- Blanches 
- Rondes 

### 3) Degré 0 et structure des morceaux

A musical score consisting of three staves. The first staff contains a melody of quarter notes. The second staff contains a melody of quarter notes. The third staff contains a bass line of chords. The first measure is highlighted with a red box, the second with a yellow box, the third with a red box, and the fourth with a blue box.

- Noires ♩
- Blanches ♪
- Rondes ○

Le code barre en degré 0 et le complexe associé à 6% :



### 3) Degré 0 et structure des morceaux

**Application :** Sur la bande-son du film *Le Fabuleux Destin d'Amélie Poulain*,  
*Comptine d'un autre été: L'Après-midi*

Comptine d'un autre été : l'Après midi

"Le Fabuleux Destin d'Amélie Poulain"

$\text{♩} = 96$

Yann Tiersen

Musical score for the first part of the piece, measures 1 to 20. The score is in 4/4 time with a tempo of 96. It features a piano accompaniment with a steady eighth-note bass line and a melody in the right hand. The key signature has one sharp (F#).

Musical score for the second part of the piece, measures 21 to 39. This section includes first and second endings. The first ending leads to a repeat of the main melody, while the second ending concludes the piece with a final chord. The score continues with the same piano accompaniment and melodic line.



# 3) Degré 0 et structure des morceaux

## Comptine d'un autre été : l'Après midi

"Le Fabuleux Destin d'Amélie Poulain"

Yann Tiersen

- Accompagnement
- Premier thème
- Second thème
- Troisième thème
- Conclusion

### 3) Degré 0 et structure des morceaux

L'accompagnement, les différents thèmes et la conclusion :

Accompagnement



Premier thème



Second thème



Troisième thème



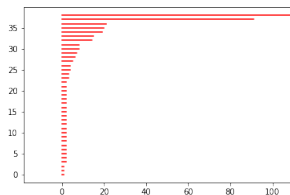
Conclusion





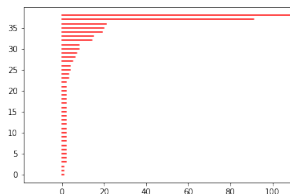
### 3) Degré 0 et structure des morceaux

Code barre en dimension 0 :

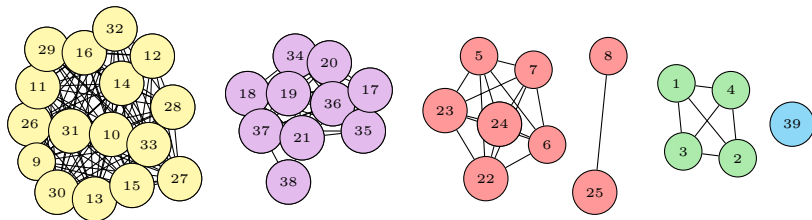


### 3) Degré 0 et structure des morceaux

Code barre en dimension 0 :



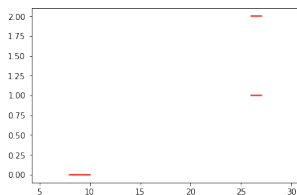
Le complexe associé à 14% :



**Chaque composante caractérise un thème de la pièce.  
Notre approche détecte la structure générale du morceau !**

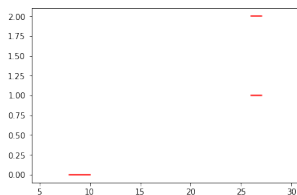
### 3) Degré 0 et structure des morceaux

Code barre en dimension 1 :

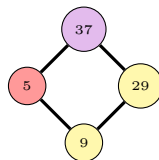
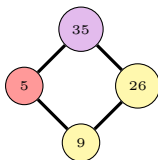
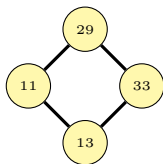


### 3) Degré 0 et structure des morceaux

Code barre en dimension 1 :



Les trois cycles en dimension 1 :



→ Pas d'interprétation musicale évidente de ces cycles.

## Conclusion et perspectives

- Notre approche capte la structure globale d'une pièce grâce au  $H_0$ .
- Le  $H_1$  reste encore difficile à interpréter musicalement.
- Tester notre approche sur un grand corpus musical et comparer les résultats.
- Comprendre comment et pourquoi apparaissent les cycles en dimension 1 et ce qu'ils révèlent du morceau.
- Faire de nouveaux choix de distances pour capter d'autres informations sur la pièce.

MERCI POUR VOTRE  
ATTENTION !

# Introduction - Quelques références



Louis Bigo and Moreno Andreatta.

Filtration of pitch-class sets complexes.

In *Mathematics and computation in music*, volume 11502 of *Lecture Notes in Comput. Sci.*, pages 213–226. Springer, Cham, 2019.



Mattia G. Bergomi, Adriano Baratè, and Barbara Di Fabio.

Towards a topological fingerprint of music.

In *Computational topology in image context*, volume 9667 of *Lecture Notes in Comput. Sci.*, pages 88–100. Springer, [Cham], 2016.



Robert Ghrist.

Barcodes: the persistent topology of data.

*Bull. Amer. Math. Soc. (N.S.)*, 45(1):61–75, 2008.



William A. Sethares and Ryan Budney.

Topology of musical data.

*J. Math. Music*, 8(1):73–92, 2014.



Afra Zomorodian and Gunnar Carlsson.

Computing persistent homology.

*Discrete Comput. Geom.*, 33(2):249–274, 2005.